

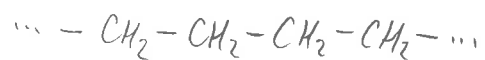
12. Polymere

12.1 Polymermodelle

§1. Ein Polymer ist ein langes Moleköl, das durch kovalente Bindung zwischen einfachen Einheiten (Monomere) entsteht.

Beispiel: Monomer: Ethen $\text{H}_2\text{C}=\text{CH}_2$

Polymer: Polyethen (PE)

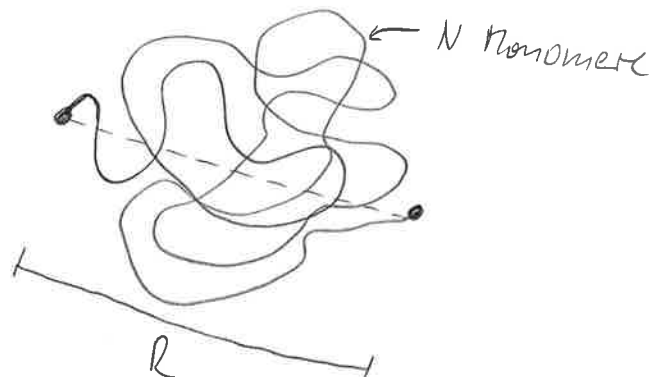


Die Anzahl der Monomere eines Polymers nennt man Polymerisationsgrad N.

Dieser kann $N = 10^3 \dots 10^{10}$ betragen.

§2. Polymere sind mehr oder weniger flexible Monomerketten. Sie besitzen daher Konformationsfreiheitsgrade, die Polymerstörungen und Polymerenschwünge zu komplexen Fluide machen.

§3. Neben dem Polymerisationsgrad N ist für die Beschreibung eines Polymers der End-zu-End-Abstand R von Bedeutung:



Beide skalieren gemäß

$$N \sim R^D \quad (1)$$

mit der fraktalen Dimension D , welche von der Konstitution (linear, ringförmig, sternförmig, zufällig verzweigt, ...) abhängt.

Für eine ideale lineare Polymerkette, deren Monomere nicht miteinander wechselwirken, ist $D=2$ (siehe §8).

○ §4. Mit der Teilchenzahldichte g am Polymerketten mit Polymerisationsgrad N und End-zu-End-Abstand R kann man zuerst die Packungsdichte

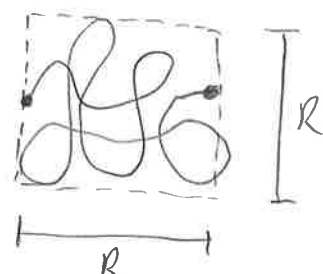
$$\psi := g N V_{\text{mono}} \quad (2)$$

mit dem Monomerolumen V_{mono} definieren, die angibt, welcher Anteil des Systemvolumens 101 von Monomeren eingenommen wird.

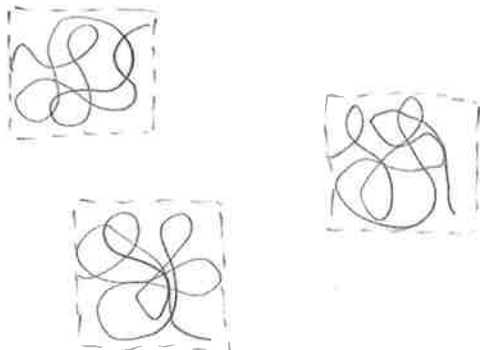
Zum anderen kann man den Überlappparameter

$$P := g R^d \quad (3)$$

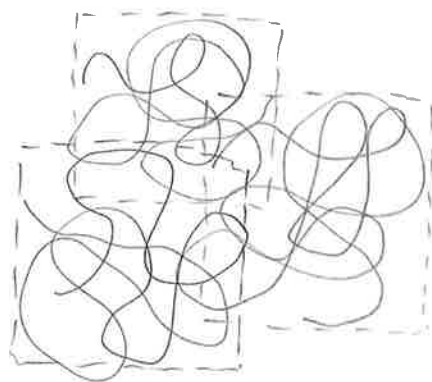
definieren, der den Anteil des Systemvolumens 101 angibt, des von Polymerketten überdeckt wird:



- §5. • Für $P < 1$ heißt eine Polymerlösung verdünnt:



- Für $P \geq 1$ aber $\phi \ll 1$ heißt eine Polymerlösung halb-verdünnt:

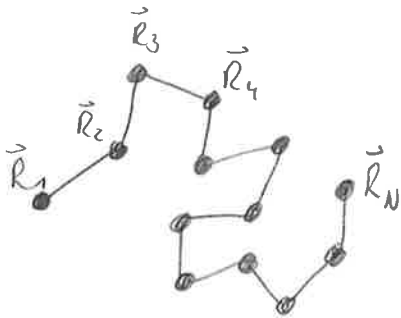


- Verdünnte Polymerlösungen haben im Vergleich zu den Eigenschaften des Lösungsmittels, die geringfügig durch die geringe Renge weit voneinander separierter Polymerketten (\approx ideales Gas) modifiziert sind.

Halbverdünnte Polymerlösungen zeigen von Lösungsmittel stark verschiedene Eigenschaften, z.B. eine größere Viskosität auf Grund der Verschlingung der Polymerketten.

- §6. Im Folgenden sollen immer nur lineare Polymere betrachtet werden.

Die Konformation einer Polymerkette kann dann z.B. durch Angabe der Positionen R_n , $n \in \{1, \dots, N\}$ der Monomere beschrieben werden.



Der End-zu-End-Abstand ist dann durch

$$R = |\vec{R}_N - \vec{R}_1| \quad (4)$$

gegeben.

§7. Bei einer idealen Polymerkette werden Wechselwirkungen zwischen Monomeren vermieden, die sich entlang des Kontur des Polymeren in großen Abstand befinden.

§8. Das einfachste ideale Polymermodell ist das „fully jointed chain model“, in dem der Bindungswinkel zwischen drei aufeinander folgenden Monomeren beliebig ist, der Abstand l zwischen zwei Monomeren aber unveränderlich ist.

Das Quadrat des End-zu-End-Abstands R ist

$$\begin{aligned} R^2 &= (\vec{R}_N - \vec{R}_1)^2 = \sum_{i,j=1}^{N-1} (\vec{R}_{i+1} - \vec{R}_i) \cdot (\vec{R}_{j+1} - \vec{R}_j) \\ &= \underbrace{\sum_{i=1}^{N-1} (\vec{R}_{i+1} - \vec{R}_i)^2}_{l^2} + \underbrace{\sum_{i,j=1}^{N-1} (\vec{R}_{i+1} - \vec{R}_i) \cdot (\vec{R}_{j+1} - \vec{R}_j)}_{l^2 \cos \vartheta_{ij}}, \end{aligned} \quad (5)$$

wobei ϑ_{ij} der Winkel zwischen der i -ten und der j -ten Bindung ist.

Mittelung über alle Konformationen ergibt

$$\langle R^2 \rangle = (N-1)l^2 + l^2 \sum_{\substack{i,j=1 \\ i \neq j}}^{N-1} \underbrace{\langle \cos \vartheta_{ij} \rangle}_{=0} = (N-1)l^2. \quad (6)$$

Es gilt $\langle \cos \vartheta_{ij} \rangle = 0$, da im „freely jointed chain model“ ϑ_{ij} beliebig ist für $i \neq j$.

In besonderen folgt für $N \gg 1$

$$\langle R^2 \rangle \approx \ell^2 N \quad (7)$$

also

$$N \sim \sqrt{\langle R^2 \rangle^D}, \quad D=2. \quad (8)$$

§9. Ein weiteres Modell idealer Polymere ist das „freely rotating chain model“, bei dem die Bindungswinkel $\vartheta_{i,i+1} = \vartheta$ konstant sind.

Dann ist

$$\langle \cos \vartheta_{ij} \rangle = (\cos \vartheta)^{|i-j|}, \quad (9)$$

und analog zu Gl. (6) erhält man

$$\begin{aligned} \langle R^2 \rangle &= (N-1)\ell^2 + \ell^2 \sum_{i=1}^{N-1} \left(\underbrace{\sum_{j=1}^{i-1} (\cos \vartheta)^{i-j}}_{\sum_{k=1}^{i-1} (\cos \vartheta)^k} + \underbrace{\sum_{j=i+1}^{N-1} (\cos \vartheta)^{j-i}}_{\sum_{k=1}^{N-1-i} (\cos \vartheta)^k} \right) \\ &\approx (N-1)\ell^2 + \ell^2 \sum_{i=1}^{N-1} 2 \underbrace{\sum_{k=1}^{\infty} (\cos \vartheta)^k}_{=\frac{\cos \vartheta}{1-\cos \vartheta}} \\ &= (N-1) \ell^2 \frac{1+\cos \vartheta}{1-\cos \vartheta} \end{aligned} \quad (10)$$

- Gleichung (9) lässt sich in der Form schreiben

$$\langle \cos \vartheta_{ij} \rangle = \exp\left(-\frac{|i-j|}{S_p}\right) \quad (11)$$

mit der Anzahl von Pmoneren im Persistentabschnitt

$$S_p = -\frac{1}{\ln(\cos \vartheta)}. \quad (12)$$

Die Richtungen der Bindungen sind also nur über eine Anzahl von Sp Kettenelementen entlang der Polymerkette hinweg korreliert. Die Länge ℓ_{sp} heißt Persistenzlänge.

- Der Term

$$C_{\infty} := \frac{1 + \cos \frac{\theta}{2}}{1 - \cos \frac{\theta}{2}} \quad (13)$$

in Gl. (10) stellt einen Korrekturfaktor gegenüber dem Ausdruck in Gl. (7) für das „freely jointed chain model“ dar.

Er heißt Flory's charakteristisches Verhältnis und ist materialspezifisch.

- Der maximale End-zu-End-Abstand R_{max} innerhalb des „freely rotating chain models“ beträgt

$$R_{\text{max}} = (N-1) \ell \cos \frac{\theta}{2} \quad (14)$$

und das mittlere Quadrat des End-zu-End-Abstands ist

$$\langle R^2 \rangle = (N-1) \ell^2 C_{\infty}. \quad (15)$$

Ein „freely jointed chain model“ mit den selben Größen R_{max} und $\langle R^2 \rangle$ besitzt K sogenannte „Kuhn-Monomere“ mit der „Kuhn-Länge“ b , sodass

$$R_{\text{max}} = K b, \quad \langle R^2 \rangle = K b^2 \quad (16)$$

$$\Rightarrow K = \frac{R_{\text{max}}^2}{\langle R^2 \rangle}, \quad b = \frac{\langle R^2 \rangle}{R_{\text{max}}} \quad (17)$$

$$\Rightarrow K = (N-1) \frac{\cos(\frac{\theta}{2})^2}{C_{\infty}} = (N-1) \frac{1 - \cos \frac{\theta}{2}}{2}, \quad (18)$$

$$b = \ell \frac{C_{\infty}}{\cos(\frac{\theta}{2})} = \ell \frac{\cos(\frac{\theta}{2})}{1 - \cos(\frac{\theta}{2})^2} \quad (19)$$

§10. Für sehr steife Polymerketten, für die der Bindungswinkel ϑ klein ist, erhält man aus dem „freely rotating chain model“ (vgl. §9) das sogenannte „worm-like chain model.“

Für $\cos \vartheta \approx 1 - \frac{\vartheta^2}{2}$ ist in Gl.(12)

$$s_p \approx \frac{2}{\vartheta^2}, \quad (19)$$

was auf die Persistenzlänge

$$l_p = \frac{2\ell}{\vartheta^2} \quad (20)$$

führt.

Flory's charakteristisches Verhältnis Gl. (13) wird zu

$$C_\infty \approx \frac{4}{\vartheta^2} \quad (21)$$

und die Kuhn-Länge ist das Doppelte der Persistenzlänge:

$$b \approx \frac{4\ell}{\vartheta^2} = 2l_p. \quad (22)$$

§11. Die Abbildung eines Polymers auf ein effektives „freely jointed chain model“ mit K „Kuhn-Masseneinheiten“ der „Kuhn-Länge“ b gestaltet es, die Verteilung der End-zu-End-Abstände \vec{R} zu bestimmen.

Offensichtlich entspricht die Menge aller Polymerkonformationen der Menge aller „random walks“ in d Raumdimensionen aus K Schritten des festen Schrittwert b .

Die Endposition \vec{R} ist bekanntlich normalverteilt mit Wahrscheinlichkeitsdichte

$$P(\vec{R}) = \sqrt{\frac{d!}{2\pi \langle \vec{R}^2 \rangle}}^d \exp\left(-\frac{d\langle \vec{R}^2 \rangle}{2\langle \vec{R}^2 \rangle}\right). \quad (23)$$

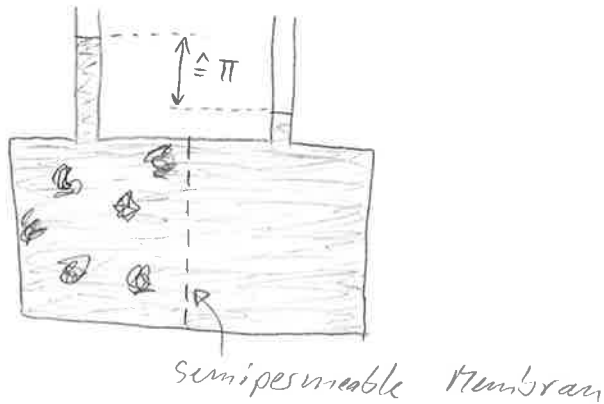
Wegen Gl. (16) ist also

$$P(\vec{R}) = \sqrt{\frac{\alpha}{2\pi k^2}} e^{-\frac{\alpha \vec{R}^2}{2k^2}}. \quad (24)$$

12.2 Experimentelle Charakterisierung von Polymeren

§1. Im Folgenden soll gezeigt werden, wie der Polymerisationsgrad, die Ausdehnung und die fraktale Dimension D von Polymeren in neodimierten Lösungen experimentell bestimmt werden können.

§2. Der Polymerisationsgrad N eines Polymeren lässt sich aus dem osmotischen Druck Π einer neodimierten Polymerlösung gegenüber dem reinen Lösungsmittel bestimmen:



Da sich Polymeren in neodimierten Lösungen wie ein ideales Gas verhalten, gilt das Van't Hoff'sche Gesetz

$$\beta \Pi = g \quad (1)$$

mit der Teilchenzahldichte g des Polymeren.

Kann man nun die Masse s_m des Polymeren und die Masse m_{mono} des Monomeren, so folgt der Polymerisationsgrad N aus

$$s_m = N m_{mono} g \Rightarrow N = \frac{s_m}{m_{mono} g} = \frac{s_m}{m_{mono} \beta \Pi}. \quad (2)$$

§3. Nun sollen Strukturexperimente von Photonen oder Neutronen an Polymeren untersucht werden.

Dafür ist es nötig, dass ein Streukontrast zwischen den Polymeren und dem Lösungsmittel besteht.

- In einer verdünnten Polymerlösung seien L Polymerketten mit Polymerisationsgrad N enthalten.

Die Konformation des Polymeren $\ell \in \{1, \dots, L\}$ sei durch die Positionen $(\vec{R}_1^{(\ell)}, \dots, \vec{R}_N^{(\ell)})$ seiner Monomere gegeben.

- Der Strukturfaktor des Monomeren ist dann (vgl. §6.2.2)

$$\begin{aligned} S(\vec{q}) &= \frac{1}{LN} \left\langle \sum_{\ell, \ell'=1}^L \sum_{n, n'=1}^N \exp(i\vec{q} \cdot (\vec{R}_n^{(\ell)} - \vec{R}_{n'}^{(\ell')})) \right\rangle \\ &= \frac{1}{LN} \left(\left\langle \sum_{\ell=1}^L \sum_{n, n'=1}^N \exp(i\vec{q} \cdot (\vec{R}_n^{(\ell)} - \vec{R}_{n'}^{(\ell)})) \right\rangle \right. \\ &\quad \left. + \left\langle \sum_{\ell, \ell'=1}^L \sum_{n, n'=1}^N \exp(i\vec{q} \cdot (\vec{R}_n^{(\ell)} - \vec{R}_{n'}^{(\ell')})) \right\rangle \right). \quad (3) \end{aligned}$$

- Auf Längenskalen $\frac{2\pi}{|\vec{q}|}$ kleiner als der mittlere Abstand zwischen zwei Polymeren, d.h. für

$$\left(\frac{2\pi}{|\vec{q}|}\right)^d g \ll 1 \Leftrightarrow |\vec{q}| \gg 2\pi \sqrt[d]{g} \quad (4)$$

mit der Polymer-Einfachendichte $g = \frac{L}{N\ell_1}$, ist der zweite Beitrag von zwei verschiedenen Polymeren $\ell \neq \ell'$ verschwindend klein, und der erste Beitrag ist de facto unabhängig von ℓ :

$$S(\vec{q}) \approx \frac{1}{N} \left\langle \sum_{n, n'=1}^N \exp(i\vec{q} \cdot (\vec{R}_n - \vec{R}_{n'})) \right\rangle. \quad (5)$$

Dies ist der Strukturfaktor des Monomeren eines einzigen Polymeren.

- Für $\frac{2\pi}{|\vec{q}|}$ größer als der mittlere End-zu-End-Abstand eines Polymeren, aber kleiner als das mittlere Abstand zwischen zwei Polymeren ist $S(\vec{q}) \approx N$, sodass man den sogenannten Fermi-Faktor

$$f(\vec{q}) := \frac{1}{N^2} \left\langle \sum_{n,n'=1}^N \cos(\vec{q} \cdot (\vec{R}_n - \vec{R}_{n'})) \right\rangle \quad (6)$$
definiert mit
$$f(\vec{q} \rightarrow 0) \rightarrow 1.$$

- Taylors-Entwicklung von $f(\vec{q})$ um $\vec{q}=0$ bringt

$$\begin{aligned} f(\vec{q}) &= \frac{1}{N^2} \left\langle \sum_{n,n'=1}^N \left(1 + \vec{q} \cdot (\vec{R}_n - \vec{R}_{n'}) - \frac{1}{2} (\vec{q} \cdot (\vec{R}_n - \vec{R}_{n'}))^2 + \dots \right) \right\rangle \\ &= 1 - \frac{1}{2} \frac{1}{N^2} \left\langle \sum_{n,n'=1}^N (\vec{q} \cdot (\vec{R}_n - \vec{R}_{n'}))^2 \right\rangle + O(|\vec{q}|^4) \quad (7) \end{aligned}$$

Der Term $\sim |\vec{q}|^2$ muss rotationsinvariant sein, d.h.

$$\begin{aligned} \left\langle \sum_{n,n'=1}^N (\vec{q} \cdot (\vec{R}_n - \vec{R}_{n'}))^2 \right\rangle &= |\vec{q}|^2 \left\langle \sum_{n,n'=1}^N (\vec{\omega} \cdot (\vec{R}_n - \vec{R}_{n'}))^2 \right\rangle \\ \vec{q} &= |\vec{q}| \vec{\omega} \\ &= |\vec{q}|^2 \frac{1}{|S_{d-1}|} \int d^{d-1} \vec{\omega} \left\langle \sum_{n,n'=1}^N (\vec{\omega} \cdot (\vec{R}_n - \vec{R}_{n'}))^2 \right\rangle \quad (8) \end{aligned}$$

In $d=3$ Raumdimensionen ist

$$\frac{1}{|S_2|} \int_{S_2} d^2 \vec{\omega} (\vec{\omega} \cdot (\vec{R}_n - \vec{R}_{n'}))^2 = \frac{|\vec{R}_n - \vec{R}_{n'}|^2}{2} \int_{-1}^1 d\gamma \gamma^2 = \frac{1}{3} |\vec{R}_n - \vec{R}_{n'}|^2 \quad (9)$$

also

$$\left\langle \sum_{n,n'=1}^N (\vec{q} \cdot (\vec{R}_n - \vec{R}_{n'}))^2 \right\rangle = \frac{|\vec{q}|^2}{3} \left\langle \sum_{n,n'=1}^N (\vec{R}_n - \vec{R}_{n'})^2 \right\rangle \quad (10)$$

- Die Größe R_g mit
- $$R_g^2 := \frac{1}{2N^2} \sum_{n,n'=1}^N (\vec{R}_n - \vec{R}_{n'})^2 \quad (11)$$

heißt Gyrationsradius.

Mit dem Schwerpunkt

$$\vec{S} = \frac{1}{N} \sum_{n=1}^N \vec{R}_n$$

(12)

ist

$$\begin{aligned} \langle R_g^2 \rangle &= \frac{1}{2N^2} \sum_{n,n'=1}^N (\vec{R}_n - \vec{S} + \vec{S} - \vec{R}_{n'})^2 \\ &= \frac{1}{2N^2} \sum_{n,n'=1}^N ((\vec{R}_n - \vec{S})^2 - 2(\vec{R}_n - \vec{S}) \cdot (\vec{R}_{n'} - \vec{S}) + (\vec{R}_{n'} - \vec{S})^2) \\ &= \frac{1}{N} \sum_{n=1}^N (\vec{R}_n - \vec{S})^2 - \underbrace{\frac{1}{N^2} \sum_{n=1}^N (\vec{R}_n - \vec{S}) \cdot \sum_{n'=1}^N (\vec{R}_{n'} - \vec{S})}_{=0} \\ &= \frac{1}{N} \sum_{n=1}^N (\vec{R}_n - \vec{S})^2 \end{aligned} \quad (13)$$

- In $d=3$ Raumdimensionen ist also mit Gl. (7), (10) und (12)

$$f(\vec{q}) = 1 - \frac{\langle R_g^2 \rangle}{3} \vec{q}^2 + O(q^4) \quad (14)$$

Durch Herrnung des Funktionsfaktors findet man somit den Gyrationsradius $\langle R_g^2 \rangle$.

§4. Für ein ideales lineares Polymer mit K „Kuhn-Monomer“ der „Kuhn-Länge“ b ist für den Gyrationsradius

$$\begin{aligned} \langle R_g^2 \rangle &\approx \frac{1}{2K^2} \int_0^K \mathrm{d}u \int_0^K \mathrm{d}u' \langle (\vec{R}_u - \vec{R}_{u'})^2 \rangle \\ &= \frac{1}{K^2} \int_0^K \mathrm{d}u \int_0^K \mathrm{d}u' \underbrace{\langle (\vec{R}_u - \vec{R}_{u'})^2 \rangle}_{(u-u')^2} \\ &= \frac{b^2}{K^2} \int_0^K \mathrm{d}u \int_0^K \mathrm{d}u' (u-u')^2 \\ &\quad \underbrace{\int_0^K \mathrm{d}u}_{= \frac{K^2}{2}} \\ &= \frac{Kb^2}{6} = \frac{\langle R^2 \rangle}{6}. \end{aligned} \quad (15)$$

Der Cyklationsradius ist somit $\frac{1}{\sqrt{N}}$ -mal der mittlere End-zu-End-Abstand.

§5. Im Längenbereich $\frac{2\pi}{|\vec{q}|} \in (\ell, l_g)$ besitzt ein Polymer aus Monomeren der Länge ℓ eine fraktale Dimension D .

Sei

$$\bar{g}(\vec{r}) := \left\langle \frac{1}{N} \sum_{n=1}^N \sum_{m=1}^N \delta(\vec{r} - (\vec{R}_n - \vec{R}_{n+m})) \right\rangle \quad (16)$$

die Dichte an Monomeren im Abstand \vec{r} von einem Monomer des sogenannten Polymers, gemittelt über alle Monomere.

Der Ausdruck

$$\int d^d r \bar{g}(\vec{r}) \quad (17)$$

gibt die Anzahl an Monomeren an, die sich in einer Kugel mit Radius R befinden.

Nach Definition der fraktalen Dimension D schätzt diese Größe $\sim R^D$, d.h.

$$\int d^d r \bar{g}(\vec{r}) \sim \int_0^R r^{d-1} \bar{g}(r) \sim R^D. \quad (18)$$

$$\Rightarrow R^{d-1} \bar{g}(R) \sim R^{D-1} \quad (19)$$

$$\Rightarrow \bar{g}(R) \sim R^{D-d}. \quad (20)$$

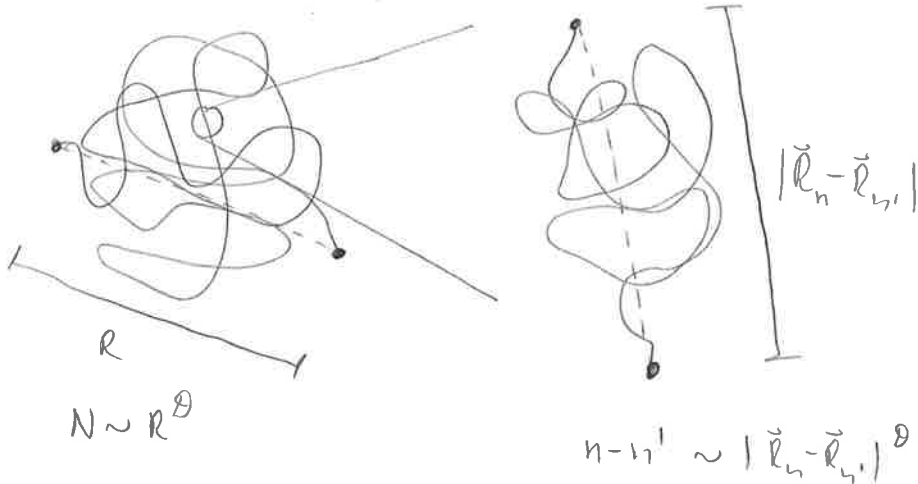
Aus Gl. (6) und (16) folgt der Zusammenhang

$$f(\vec{q}) = \frac{1}{N} \bar{g}(\vec{q}). \quad (21)$$

Wegen $\bar{g}(\vec{q}) = \int d^d r \bar{g}(\vec{r}) \exp(-i\vec{q} \cdot \vec{r}) \sim |\vec{q}|^{-D}$

ergibt sich die fraktale Dimension D aus dem Formfaktor im Volumenzahldiintervall $|\vec{q}| \in (\frac{1}{R_0}, \frac{1}{\ell})$:

$$f(\vec{q}) \sim |\vec{q}|^{-D} \quad (23)$$



§6. Für ideale lineare Polymerketten, bei denen entlang des Polymerkettenknoten mit entfernte Monomere nicht miteinander wechselwirken und die Polymerkonformationen daher „random walks“ darstellen, ist $D=2$ (vgl. Gl.(12.1.8)).

Für reale lineare Polymerketten, bei denen der Überlapp von Monomeren stets ausgeschlossen ist und die Polymerkonformationen daher „self-avoiding random walks“ sind, findet man $D \approx \frac{5}{3} < 2$.

12.3 Entropische Elastizität

§1. Die Entropie $S(K, b, \bar{R})$ eines idealen linearen Polymeren mit K „Kuhn-Monomeren“ der „Kuhn-Länge“ b und Eins-zu-End-Abstand \bar{R} ist gemäß

$$S(K, b, \vec{R}) = k_B \ln \Omega(K, b, \vec{R})$$

(11)

mit der Zahl $\Omega(K, b, \vec{R})$ der Konformationen unter diesen Nebenbedingungen verknüpft.

Andererseits ist die Wahrscheinlichkeitsdichte $P(\vec{R})$ des End-zu-End-Abstands \vec{R} (vgl. § 12.1.1.m)

$$P(\vec{R}) = \frac{\Omega(K, b, \vec{R})}{\int d\vec{R}' \Omega(K, b, \vec{R}')} \quad (2)$$

$$\Rightarrow S(K, b, \vec{R}) = k_B \ln P(\vec{R}) + k_B \ln \int d\vec{R}' \Omega(K, b, \vec{R}').$$

$$\begin{aligned} & \stackrel{G.112.1.24)}{=} \frac{k_B d}{2} \ln \left(\frac{d}{2\pi b^2 K} \right) - \frac{k_B d \vec{R}^2}{2 b^2 K} + k_B \ln \int d\vec{R}' \Omega(K, b, \vec{R}') \\ &= S(K, b, 0) - \frac{k_B d \vec{R}^2}{2 b^2 K}. \end{aligned} \quad (3)$$

§2. Die Freie Energie ist dann

$$F(K, b, \vec{R}) = U(K, b, \vec{R}) - TS(K, b, \vec{R}). \quad (4)$$

Da in Idealen Polymeren Monomere im großen Abstand entlang des Konturs nicht wechselwirken hängt $U(K, b, \vec{R})$ tatsächlich nicht von \vec{R} ab:

$$U(K, b, \vec{R}) = U(K, b, 0) \quad (5)$$

$$\begin{aligned} \Rightarrow F(K, b, \vec{R}) &= U(K, b, 0) - TS(K, b, 0) + \frac{d}{2} k_B T \frac{\vec{R}^2}{b^2 K} \\ &= F(K, b, 0) + \frac{d}{2} k_B T \frac{\vec{R}^2}{b^2 K}. \end{aligned} \quad (6)$$

§3. Gleichung (6) zeigt, dass die Dehnungskraft

$$\vec{f}_D = -\vec{\nabla}_{\vec{R}} F(K, b, \vec{R}) = -\frac{dk_B T}{b^2 K} \vec{R} \quad (7)$$

einem Hooke'schen Gesetz genügt.

Polymeren sind also elastisch, allerdings nicht auf Grund von Beiträgen des Monomer-Monomer-Wechselwirkung U, sondern auf Grund von Beiträgen der Konformationsentropie S.

Man spricht deshalb bei Polymeren von entropischer Elastizität.

§4. An Gl. (7) ist zu erkennen, dass die elastische Konstante („Federkonstante“)

$$D = \frac{dk_B T}{b^2 K} \quad (18)$$

proportional zur Temperatur T ist, d.h. Polymeren werden härter bei Erhöhung des Temperatur.

Dies steht im Gegensatz zum Verhalten von Festkörpern, deren elastische Konstanten mit zunehmender Temperatur abnehmen.